

УДК 532.5.013.4:536.24

© 2005 г. А. М. ПЫЛАЕВ

## ЗАДАЧА О КРИТИЧЕСКИХ КОНВЕКТИВНЫХ ДВИЖЕНИЯХ В ГОРИЗОНТАЛЬНО-ЦИЛИНДРИЧЕСКИХ ПОЛОСТЯХ

Представлены результаты анализа линейных возмущений равновесия вязкой теплопроводной жидкости или газа в полостях с сечениями простой геометрии. Рассмотрены движения как плоские, так и периодические в направлении горизонтальной образующей граничной поверхности. Рассчитаны варианты как с постоянством, так и с периодической модуляцией ускорения поля массовых сил. Решения задачи относительно функции тока (или вертикальной составляющей скорости) и температуры представлялись в форме двойных или тройных рядов типа Фурье. Для коэффициентов в разложениях получена бесконечная система уравнений, допускающая редукцию. Выявлено хорошее согласование результатов с известными данными.

*Ключевые слова:* приближение Буссинеска, модуляции, плоские и пространственные возмущения, бесконечные системы, изолинии.

Цель и содержание проведенного исследования обусловлены потребностями расчета теплового режима приборных отсеков космических аппаратов в условиях слабой гравитации. Принято во внимание возможное многообразие как геометрии каналов или прослоек в элементах конструкций, так и вариантов неравномерности распределения температуры  $T$  на границе полостей (за счет размещенных в отсеках тепловых источников). Представлялись возможными или реализуемыми и варианты с выполнением обязательного условия механического равновесия неравномерно нагретой жидкости. В связи с этим была предпринята разработка метода анализа линейных возмущений равновесия вязкой жидкости, газа или жидкой фазы теплоаккумулирующего материала в полостях, неограниченных в направлении координаты  $z$ , с сечениями, имеющими несложное аналитическое описание границы. Предусмотрен анализ возмущений как плоских, т.е. не зависящих от  $z$  и представлявших наиболее опасными в смысле нарушения равновесия, так и периодических по  $z$ . Учтена возможность линейных гармонических колебаний полости вместе с жидкостью.

Полученные результаты могут иметь и другие приложения. Множество критических движений представляет естественный полный базис для любого конвективного движения в полости [1]. Это обстоятельство может быть полезно при итерационном аналитическом решении нелинейных задач.

Обсуждаемая проблема представляет собой специфический случай явления конвективной устойчивости. В монографиях [2, 3] и публикациях [4–16] рассматривались только частные варианты области решения.

Так как применение численного метода установления стационарного режима затруднительно (время установления по мере приближения к порогу устойчивости растет), обращено внимание на аналитические возможности решения. Часто использовался подход [2] с реализацией метода Бубнова – Галёркина, с решениями для скорости  $V$  или функции тока  $\psi$ , лишь оптимальными в смысле приближения к точным, без возможности оценки погрешности в определении критических чисел Рэлея  $\{Ra_{cr}\}$ .

Здесь предпринимается определенная модернизация названного подхода с построением решений в форме рядов типа Фурье, с редуцируемой алгебраической систе-

мой уравнений для коэффициентов в разложениях и с выявлением значений  $Ra_{cr}$  из условий нетривиальности решений.

**1. Постановка задачи.** К уравнениям конвекции в приближении Буссинеска применена линейная теория устойчивости [2]. Полученные соотношения подстановкой значений  $V, T_0 + T_1, p_0 + p_1$  для скорости (м/с), температуры (К) и давления (Па) соответственно приведены к безразмерному виду; в качестве масштабов приняты  $L, \theta_0 L, a/L, L^2/(v a)^{0.5}, \nu \rho_0 a/L^2$  последовательно для расстояния, температуры, скорости, времени и давления. Здесь  $\nu, a, \rho, \theta_0$  – коэффициенты кинематической вязкости, температуропроводности, плотности и константа равновесного градиента температуры соответственно;  $L \cdot X$  и  $L$  – габаритные размеры в направлениях осей  $x$  и  $y$ .

Уравнения записаны с учетом возможности возникновения конвекции и в условиях, когда один из параметров, характеризующих равновесие, зависит от времени. Предусмотрены наиболее интересные случаи периодической модуляции параметра – равновесного градиента температуры или ускорения поля тяжести

$$g = g_0(1 + \chi \sin \Omega \tau); \quad \theta = \theta_0(1 + \Gamma \sin \Omega \tau), \quad \Gamma \ll a/L^2 \quad (1.1)$$

Здесь  $\Gamma$  – относительная амплитуда модуляции;  $\Omega$  и  $\chi$  – безразмерные частота и параметр модуляции; справа – условие, при выполнении которого можно пренебречь пространственной неоднородностью модуляции градиента температуры.

Использованы две возможности преобразования выведенных безразмерных уравнений относительно  $V, T_1$  и  $p_1$ .

Для трехмерных течений из уравнений исключены давление  $p_1$  и горизонтальные компоненты скорости  $V_x$  и  $V_z$ ; для этого к векторному уравнению движения применены операция  $\text{rot rot}$  и проектирование на ось  $y$ . Для возмущения  $T_1$  (с волновым числом  $n$ ) и для вертикальной компоненты скорости  $V_y$  введена подстановка

$$T_1 = t \cos(nz), \quad V_y = v \cos(nz); \quad v = v(y, x, \tau), \quad t = t(y, x, \tau) \quad (1.2)$$

В итоге получены следующие два уравнения для амплитуд  $v$  и  $t$

$$\Delta \Delta v + Ra \Delta_1 t (1 + \chi \sin \Omega \tau) = \frac{\partial(\Delta v)}{\partial \tau} Pr^{-0.5}, \quad \Delta_1 \varphi = \frac{\partial^2 \varphi}{\partial x^2} - n^2 \varphi \quad (1.3)$$

$$\Delta t + (1 + \Gamma \sin \Omega \tau) v = \frac{\partial t}{\partial \tau} Pr^{0.5}; \quad \Delta \varphi = \Delta_1 \varphi + \frac{\partial^2 \varphi}{\partial y^2} \quad (1.4)$$

Здесь  $Pr$  – число Прандтля;  $\varphi$  и  $\vartheta$  – общее обозначение величин или их комплексов. Для анализа плоских течений вместо уравнений относительно  $V, T_1$  и  $p_1$  применена система с безразмерной функцией тока  $\psi$

$$\Delta \Delta \psi + Ra \frac{\partial T_1}{\partial y} (1 + \chi \sin \Omega \tau) = \frac{\partial(\Delta \psi)}{\partial \tau} Pr^{-0.5}, \quad \Delta \varphi = \frac{\partial^2 \varphi}{\partial x^2} + \frac{\partial^2 \varphi}{\partial y^2} \quad (1.5)$$

$$\Delta T_1 + (1 + \Gamma \sin \Omega \tau) \frac{\partial \psi}{\partial x} = Pr^{0.5} \frac{\partial T_1}{\partial \tau}; \quad V_x = \frac{\partial \psi}{\partial y}, \quad V_y = -\frac{\partial \psi}{\partial x} \quad (1.6)$$

При постоянных  $g$  и  $\theta$  правые части в (1.3), (1.4) или в (1.5), (1.6) принимались равными нулю. Рассматривалась область решения

$$x \in (x_1; x_2), \quad y \in (y_1; y_2); \quad x_1 = 0, \quad x_2 = X; \quad y_i = y_i(x), \quad 0 \leq y_2 - y_1 \leq 1, \quad i \in \{1; 2\}$$

Граничные условия выбирались из соотношений

$$y \in y_i: \frac{\partial \varphi}{\partial y} = \varphi = 0; \quad x \in x_1: \frac{\partial \psi}{\partial x} = \psi = 0; \quad \varphi \in \{v, \psi\}$$

$$y \in y_i, \quad x \in x_i, \quad \vartheta \in \{t, T_1\}: \left(\frac{\partial \vartheta}{\partial x}\right)^{\gamma-1} \vartheta^{2-\gamma} = 0 \quad (1.7)$$

где  $\gamma$  – род условий для температуры ( $\gamma \in \{1; 2\}$ ). Основная цель анализа – отыскание действительных значений  $\text{Ra} > 0$  (собственных чисел), обеспечивающих нетривиальное решение либо  $\{v, t\}$  для системы (1.3), (1.4), (1.7), либо  $\{\psi, T_1\}$  для системы (1.5)–(1.7). Именно к доказательству существования таких значений  $\text{Ra}$  и сводится доказательство неустойчивости равновесия жидкости.

**2. Метод решения.** Собственные функции –  $\{v, t\}$ , либо  $\{\psi, T_1\}$  – целесообразно искать в виде линейных суперпозиций  $M$  базисных функций, удовлетворяющих граничным условиям. При удачном выборе базиса хорошие результаты получаются уже при сравнительно небольшом числе  $M$ . Но в общем случае с конечным  $M$  применение метода приводит лишь к принципиально приближенному решению. Здесь использованы разложения типа

$$v = \sum_{w=0}^J \sum_{r=1}^K \sum_{s=1}^N (A_\phi \eta_w + U_\phi \zeta_w) H f_4 \Pi_y^2, \quad \psi = v \Pi_x$$

$$\vartheta = \sum_{w=0}^J \sum_{r=1}^K \sum_{s=1}^N (B_\phi \eta_w + V_\phi \zeta_w) f_2 \Pi_y \Pi_x^{\gamma-1}, \quad \vartheta \in \{t, T_1\} \quad (2.1)$$

$$H = \sin(\pi r x / X) \sin(\pi s y), \quad f_\phi = 1/(r^\phi + s^\phi), \quad \Pi_\phi = \prod_i (\varphi - \phi_i)$$

$$\eta_w = \cos(w \Omega \tau), \quad \zeta_w = \sin(w \Omega \tau), \quad \phi = w r s$$

Зависимости (2.1) подставлялись в уравнения (1.3), (1.4) или (1.5), (1.6); выполнялось дифференцирование и переразложение выражений в левых частях уравнений в ряды уже использованного типа, но с гораздо более сложной структурой коэффициентов. Наконец, приравнивание каждого из таких коэффициентов их значениям в правых частях (нулевым) привело к системам уравнений для коэффициентов  $\{A_\phi, U_\phi, B_\phi, V_\phi\}$ . Для каждой пары уравнений, (1.3), (1.4) или (1.5), (1.6), выведены две совокупности ( $n = 1; 2$ ) соотношений. При  $J = 0$  без индекса  $w$  получено, что

$$\sum_{r=1}^R \sum_{s=1}^S [B_{rs} E_{rs}^{kl} + A_{rs} F_{rs}^{kl}] = 0, \quad k = l = 1, \dots, N, \quad R = S = N \quad (2.2)$$

$$F_{rs}^{kl} = f_4 \sum_{p,q} b_{pq} (G(M) + 2G(2, 2)\delta_{n1}); \quad E_{rs}^{kl} = \text{Ra} f_2 \sum_{p,q} d_{pq} G(W) \quad (2.3)$$

$$(M, W) = (4, 0; 1)\delta_{n1} + (1; 0, 2)\delta_{n2}; \quad G(j) = G(j; 0) + G(0; j)$$

В (2.3) использованы обозначения

$$G(i, j) = S_{kr}^{xp, i} S_{ls}^{yq, j}; \quad S_{kr}^{\phi p, j} = -0.5 u_{0.5j} r \sum_I I H_{k+1r}^p, \quad j \in \{0; 2; 4\}$$

$$S_{kr}^{\Phi p, 1} = 0.5r \left( \sum_r (D_p - p H_{k+lr}^{p-1})(k + lr)^{-1} \right), \quad I \in \{1, -1\}, \quad u_j = (-1)^j$$

$$D_p = L_\Phi u_{k+r}(1 - \delta_{p0}) + (u_{k+r} - 1)\delta_{p0}, \quad L_\Phi = \delta_{\Phi y} + X\delta_{\Phi x}$$

$$H_k^p = \int_0^{L_\Phi} \Phi^p \cos(k\Phi\pi L_\Phi^{-1}) d\Phi, \quad H_k^p = (L_\Phi^{p+1}(p+1)^{-1} - h_k^{\Phi p})\delta_{k0} + h_k^{\Phi p}, \quad |h_k^{\Phi p}| < p L_\Phi^{p+1} (k\pi)^{-2};$$

$$\Phi = \vartheta \rightarrow \delta_{\Phi\vartheta} = 1; \quad \Phi \neq \vartheta \rightarrow \delta_{\Phi\vartheta} = 0$$

Для коэффициентов в (2.2) получены оценки:

$$rs \neq kl, \quad n = 1: |F_{rs}^{kl}| < C_1 \left| \sum_{p,q} h_{pq} b_{pq} \right|, \quad |E_{rs}^{kl}| < C_2 \text{Ra} \left| \sum_{p,q} d_{pq} \Phi (r^2 + s^2)^{-1} \right|$$

$$rs \neq kl, \quad n = 2: |F_{rs}^{kl}| < C_2 \left| \sum_{p,q} b_{pq} (\Phi + h_{l-s}^{yq} r D_p (k-r))^{-1} (r^4 + s^4)^{-1} \right|$$

$$|E_{rs}^{kl}| < C_1 \text{Ra} \left| \sum_{p,q} d_{pq} h_{pq} \right|; \quad \Phi = h_{k-r}^{xp} s D_q (l-s)^{-1} \tag{2.4}$$

$$rs = kl, \quad |F_{rs}^{kl}|_{n=1} > C_3 \approx \left| \sum_{p,q} \Psi_{pq} b_{pq} \right|, \quad |E_{rs}^{kl}|_{n=2} > C_4 \approx \text{Ra} \left| \sum_{p,q} d_{pq} \right| \tag{2.5}$$

$$h_{pq} = h_{k-r}^{xp} h_{l-s}^{yq}; \quad \Psi_{pq} = L_y^{q+1} ((p+1)(q+1))^{-1}; \quad C_1 \approx C_2 \approx 1$$

Соотношения (2.2) рассматриваются как система уравнений для

$$\{A_{rs}\}, \{B_{rs}\}; \quad \{r\} = \{s\} = 1, \dots, N \tag{2.6}$$

Удобно последовательно согласованное расположение двух множеств из (2.6) и двух множеств уравнений из (2.2) с  $n \in \{1, 2\}$  – по возрастанию сумм  $(r + s)$  и  $(k + l)$  соответственно; в пределах же каждой группы с совпадающей суммой размещение возможно в порядке роста 1-го индекса ( $r$  или  $k$ ). В частности  $\{A_{rs}, s = 1, \dots, m-1\}$ ,  $m = r + s = 2, \dots, 2N\} = \{A_{11}, A_{12}, A_{21}, A_{13}, A_{22}, A_{31}, A_{14}, A_{23}, A_{32} \dots\}$ .

При таком подходе коэффициенты  $F_{rs}^{rs}$  или  $E_{rs}^{rs}$  оказываются диагональными и преобладающими по модулю в любой строке матрицы коэффициентов для уравнений из (2.2). И удастся доказать неравенство, обеспечивающее возможность редукции [17]

$$\sum_{n,k,l,r,s} (Z_E^2 + Z_F^2)(1 - \delta_{(rs)(kl)})(\Phi_{rs}^{rs})^{-2} < \infty, \quad \Phi = F\delta_{n1} + E\delta_{n2} \tag{2.7}$$

Выполнение (2.7), где  $Z_\Phi = \Phi_{rs}^{kl}$ , – следствие ограниченности интеграла

$$\int \int_{k,l} dk dl \int \int_{r,s} dr ds ((k-l)(r-s))^{-4}, \quad (k, l, r, s) \in \{1, \dots, \infty\}, \quad |k-l||r-s| \geq 1$$

Представленное здесь для случаев с  $J = 0$  в (2.1) пояснение метода (2.2)–(2.7) обобщается и применительно к вариантам с  $J > 0$ .

Итак, решение задачи сведено к анализу определителей  $\Theta(Ra)$  конечной системы типа (2.2). Значения таких определителей в силу нетривиальности решения обращающихся в нуль при искомым значениях  $Ra$  вычислялись с привлечением внешней памяти ПК – с последовательным исключением групп переменных, с применением обращения матриц. Функция  $\Theta(Ra)$  – сложная, часто с большим диапазоном абсолютных значений в пределах даже весьма узкого интервала изменения ее знака. Функции  $\psi$  и  $t$  также чувствительны к изменению  $Ra$ , но в меньшей степени.

**3. Результаты расчетов.** Расхождение результатов в приведенных здесь таблицах 1–3 отражает различие расчетных вариантов – по геометрии области решения, характеру граничных условий для температуры и виду зависимости ускорения поля тяжести от времени. В каждой из строк представлено по две группы  $Ra$  – нулей функционального определителя, умноженных на  $10^{-3}$  и записанных в порядке возрастания. Конечно, более надежны в вычислении и практически более интересны первые два – три из предлагаемых значений.

С целью компактности пояснений применены обозначения типа

$$Ra_{ijk}, Ra_{ijk*}; \quad i = 1, \dots, 12, \quad j = 1, \dots, 6, \quad k = 1, \dots, 6 \quad (3.1)$$

где  $i$  –  $N$  группы  $Ra$  – нулей в таблице,  $j$  –  $N$  строки в составе группы,  $k$  –  $N$  значения  $Ra$  в порядке возрастания. Индекс \* отмечает данные литературных источников; за исключением 12-й группы  $Ra$  – нулей, информация представлена лишь для вариантов, допускающих ее частичное сопоставление с такими данными. Цифры или буквы в индексе могут разделяться запятыми. Полное или неполное цифровое выражение индекса типа  $ijk$  относится к конкретному значению  $Ra_{cr}$  или к множеству  $\{Ra_{cr}\}$  с какой-либо общей характеристикой. Например,  $Ra_{92k*}$  – известное множество значений  $\{Ra_{cr}\}$  – при условиях однозначности для 2-й строки ( $j = 2$ ) 9-й группы  $Ra$  – нулей ( $i = 9$ ).

1). *Зависимость результатов анализа от числа базисных функций.* В табл. 1 представлена информация для течений в полостях с квадратным сечением при  $g = \text{const}$  ( $i = 1$ ) и с прямоугольным сечением ( $X = 10, i = 2$ ) при условиях:  $\chi = 4.5$ ,  $\Omega = 100$ ,  $Pr = 7$  в (1.1). Вертикальные и горизонтальные границы приняты идеально теплоизолированными и теплопроводными соответственно. Приведены по три первых значащих цифры для  $\{Ra_{cr} \cdot 10^{-3}\}$  – в порядке их возрастания – в строках 1–3 для плоских, а в строках 4–6 для пространственных ( $n = 4$ , см. (1.2)) течений. Последовательно размещены в 1-й группе результаты, полученные при  $K = N \in \{4; 5; 7; 10; 12; (14 \text{ или } 16)\}$ , а во 2-й группе – при  $K = 14, N = 7, J + 1 = 2, \dots, (4 \text{ или } 5)$  (см. (2.1)), затем при  $N = 7, J + 1 = 4, K \in \{20; 8\}$ . Видно, что оптимальное число базисных функций относительно невелико –  $K \cdot N \cdot (1 + J) \in \{7 \cdot 7 \cdot 1, \dots, 14 \cdot 7 \cdot 4\}$  и вполне реализуемо на ПК; в ответственных случаях оно может уточняться в процессе решения.

2). *Анализ плоских возмущений.* Двухстрочные подгруппы значений  $Ra_{cr} \cdot 10^{-3}$  при  $i = 3$  (табл. 2) представлены последовательно для полостей с квадратным, круглым и прямоугольным (при отношении высоты к ширине 1:10) сечениями. Теплопроводность (идеальная) учитывалась при  $j \in \{2, 4, 6\}$  для всей границы, а при  $j \in \{1, 3, 5\}$  только для ее плоских горизонтальных участков.

Значение  $Ra_{322}$  согласуется с результатом [8] –  $Ra_{cr} = 5.03 \cdot 10^3$ . Дополнительно к результатам с. 1 определены, в частности, значения  $Ra_{32.10} = 3.420 \cdot 10^3$  и  $Ra_{32.11} = 3.853 \cdot 10^3$ . Вместе с  $Ra_{322}$  и с  $Ra_{323}$  эта подгруппа  $\{Ra_{cr}\}$  мало отличается от представленной в [9] –  $Ra_{cr} \cdot 10^{-3} \in \{5.099; 8.495; 30.080; 36.600\}$ .

Очевидно практическое совпадение  $Ra_{311}$  и  $Ra_{cr} = 2.586 \cdot 10^3$  (см. [10]). Значения  $Ra_{33k}$  согласуются с приведенными в [11] –  $\{1.352; \dots\}$  с погрешностью до 1.4%: 5.62;

Таблица 1

<i>j</i>	<i>k</i> = 1	2	3	4	5	6	<i>k</i> = 1	2	3	4	5	
	$Ra_{1jk} \cdot 10^{-3}$						$Ra_{2jk} \cdot 10^{-3}$					
1	2.76	2.68	2.54	2.50	2.46	2.48	4.99	5.57	5.43	5.43	5.37	
2	3.91	4.10	4.14	4.03	4.02	3.99	13.8	12.1	12.6	12.7	12.4	
3	6.85	6.76	6.82	6.90	6.83	6.80	15.8	16.5	16.5	16.5	16.4	
4	2.72	2.85	2.95	2.94	2.91	2.91	5.76	5.48	5.43	5.45	5.35	
5	3.72	3.77	3.74	3.74	3.85	3.85	6.92	6.96	6.94	6.96	6.92	
6	5.28	5.38	5.53	5.34	5.45	5.45	17.7	17.8	17.9	17.8	17.9	

Таблица 2

<i>j</i>	<i>k</i> = 1	2	3	4	5	6
	$Ra_{3jk} \cdot 10^{-3}$					
1	2.4725	4.2704	7.0505	10.376	13.039	16.046
2	2.8023	5.0958	8.3753	9.3359	15.949	18.294
3	0.1334	0.5456	0.7466	1.3261	2.4925	3.1025
4	0.4217	0.7444	1.1033	1.9126	3.2156	3.5680
5	1.7375	2.7626	3.4688	7.1243	12.406	19.237
6	2.1613	4.0097	5.582	9.3375	13.13	17.313
	$Ra_{4jk} \cdot 10^{-3}$					
1	2.9795	5.2178	7.0750	8.8369	10.032	17.260
2	2.8437	4.2641	6.0562	9.9594	11.650	18.258
3	3.505	5.2547	7.909	9.3602	13.809	18.053

13.55; 22.88} · 10<sup>2</sup>. Результаты, близкие к  $Ra_{34k}$ , опубликованы в [11]–{4.082; с погрешностью до 14%: 7.43; 32.58; 32.91} · 10<sup>2</sup> – и [12] –  $Ra_{341*} = 4.069 \cdot 10^2$ .

В связи с информацией в строках 5 и 6 уместно вспомнить результаты, полученные в [13] для плоских слоев, неограниченных в направлениях *x* и *z*. Для таких областей (слоев) возможны нейтральные возмущения типа

$$t = t(y)e(x, z), \quad \psi = \psi(y)e(x, z); \quad e(x, z) = \exp[(-1)^{1/2}(n_1x + n_2z)] \quad (3.2)$$

Здесь  $n^2 = n_1^2 + n_2^2$  и  $t(y), \psi(y)$  – вещественные волновые числа и амплитуды возмущений;  $n \in \{n_m, m = 1, \dots, \infty\}$ . Для каждого из чисел  $n_m$  рассмотрено множество значений  $\{Ra_{cr}\}_m$  – с удовлетворением выражений (3.2) задаче типа (1.5)–(1.7). С учетом всех таких множеств для нижних десяти уровней неустойчивости приведены парные группы соответствующих значений

$$\{(Ra_{crm}; n_m), m \in 1, \dots, 10\} = \{(1.71; 3.116), (17.61; 5.36), (75.71; 7.58), \dots\} \quad (3.3)$$

Таблица 3

$j$	$k = 1$	2	3	$k = 1$	2	3	
		$Ra_{5jk} \cdot 10^{-3}$				$Ra_{6jk} \cdot 10^{-3}$	
1	0.0921	0.3972	0.7953	0.2530	0.6714	1.1329	
2	0.2516	0.4949	0.8159	0.2780	0.7835	1.1756	
3	0.2973	0.5108	1.0115	0.3969	0.5982	0.9530	
		$Ra_{7jk} \cdot 10^{-3}$				$Ra_{8jk} \cdot 10^{-3}$	
1	1.6762	2.1185	4.1997	1.8349	3.2090	5.6959	
2	1.7063	2.8062	5.2324	1.8250	3.1875	6.0273	
3	1.9136	3.3212	5.8603	2.8244	4.2253	5.8060	
		$Ra_{9jk} \cdot 10^{-3}$				$Ra_{10,jk} \cdot 10^{-3}$	
1	2.3344	11.113	17.103	3.9375	4.6625	12.4450	
2	3.3477	7.1771	19.990	4.3092	7.2435	12.8282	
3	2.2871	12.336	20.211	3.9961	6.6875	11.4375	
4	2.5039	9.2538	19.066	4.5461	7.6331	11.3937	
5	2.5597	10.142	16.175	3.6613	7.0156	11.0938	
		$Ra_{11,jk} \cdot 10^{-3}$				$Ra_{12,jk} \cdot 10^{-3}$	
1	5.4287	12.606	16.475	2.7891	4.30078	7.75049	
2	4.2142	9.9570	18.509	2.8788	6.61115	13.9062	
3	3.6980	8.9059	18.067	2.6843	4.83594	8.61711	
4	3.6350	7.7881	15.532	2.6004	4.08252	8.78517	
5	5.4316	6.9438	17.881	3.5498	7.39990	9.10937	

Среди чисел  $\{Ra_{3jk}; j = 5, 6\}$  при  $k = 1$  и  $k = 6$  есть и значения, достаточно близкие к  $Ra_{cr1}$  и  $Ra_{cr2}$  из (3.3) соответственно. Сопоставление множества  $\{Ra_{crm}; m \in \{3, \dots, 10\}\}$  из (3.3) с подгруппой выборочных значений  $\{Ra_{3jk}; j = 5, 6\}$  при  $k > 6$  выявляет уже практическое совпадение.

Значит для рассмотренных каналов (с  $X = 10$ ) в основе нейтральных возмущений, удовлетворяющих (1.5)–(1.7) при поясненных выборочных значениях  $\{Ra_{3jk}; j = 5, 6\}$ , лежат гармоники с однозначно соответствующими числами ( $n_m$  из (3.3) для  $Ra_{3jk} \approx Ra_{crm}$ ). Но в чистом виде эти гармоники задаче (1.5)–(1.7) уже не удовлетворяют.

Представляют интерес следующие взаимосвязи при

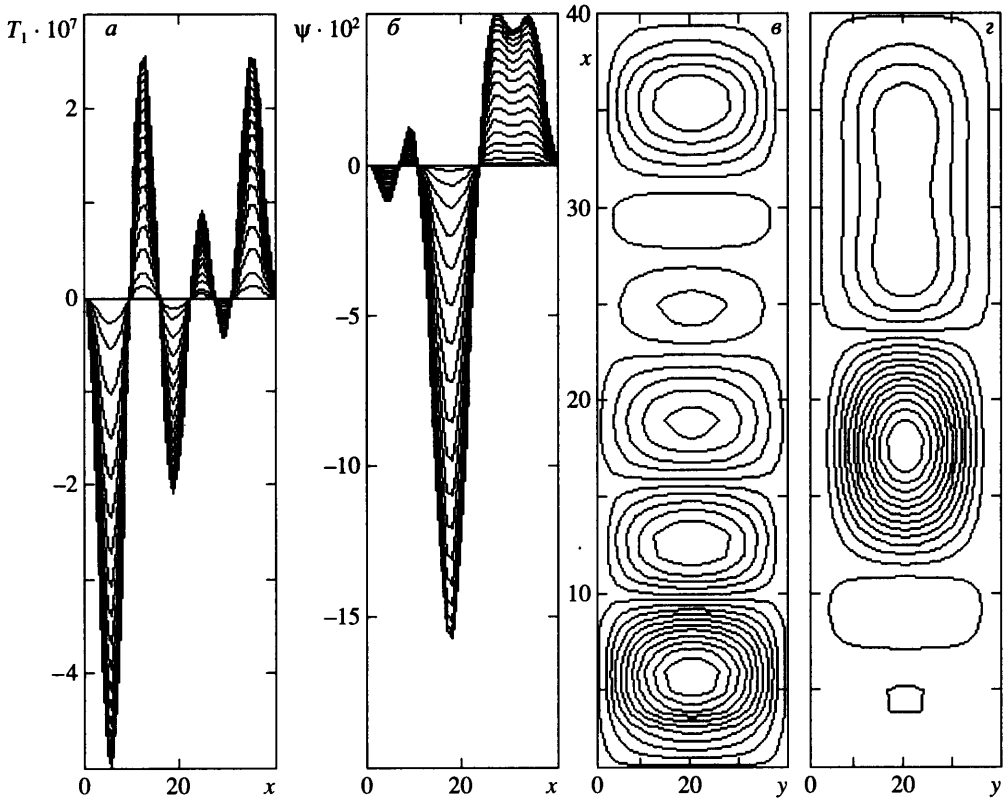
$$k = 1, \dots, 5, \quad j \in \{1, 3, 5\}: Ra_{3jk} < Ra_{3,j+1,k} < Ra_{3j,k+1} \quad (3.4)$$

а именно перемежаемость значений  $Ra_{cr}$  для вариантов с  $n = 0$  и с различием только условий для температуры. Соотношения типа (3.4) подтвердились и во всех других рассмотренных автором вариантах.

3). *Анализ пространственных возмущений.* Четвертая группа  $Ra$  – нулей (табл. 2) и группы 5–8 (табл. 3) последовательно соответствуют тем же вариантам, для которых в строках 2–6 3-й группы (табл. 2) приведены значения  $\{Ra_{cr}\}$  при  $n = 0$ . Здесь номер строки – значение  $n$  в (1.2), т.е.  $n = j$ .

Числа  $\{Ra_{11i}; i \in \{5, 6\}\}$  в качестве минимальных по  $n$  значений  $Ra_{cr}$  вполне сопоставимы с данными в [14]–[96; 260].

Можно добавить, что числа  $Ra_{821}$  и  $Ra_{321}$  неплохо согласуются и со значениями  $Ra_{cr} \approx 1.9 \cdot 10^3$  и  $Ra_{cr} \approx 3.5 \cdot 10^3$ , полученными в [15] для полостей в виде прямоугольных параллелепипедов единичной высоты с размерами в основании  $6 \times 6$  и  $6 \times 1$ . Следует учитывать, что  $\{Ra_{cr}\}$  с увеличением размеров основания плавно убывают к значению  $Ra_{cr} = 1.708 \cdot 10^3$  ((3.3)).



Фиг. 1. Зависимости  $T_1 \cdot 10^7$  (а),  $\psi \cdot 10^{12}$  (б) от  $x$  и изолинии для  $T_1$  (в),  $\psi$  (г) при  $Ra_{cr} = Ra_{321} = 2802$

Анализ представленных для групп 3– 8 и других полученных результатов приводит к выводу об отсутствии пересечений интервалов для  $\{Ra_{cr}\}$  даже близлежащих столбцов:

$$\max_j Ra_{ijk} < \min_j Ra_{ij, k+1}, \quad j = n \geq 1, \quad k \geq 1 \tag{3.5}$$

4). Анализ возмущений при модуляции ускорения поля тяжести. Значения  $Ra$  – нулей в группах 9–12 (табл. 3) получены для полостей с прямоугольным ( $X = 10; i = 9, \dots, 11$ ) и с квадратным ( $i = 12$ ) сечениями. Вертикальные участки границы полости при  $i = 9, \dots, 11$  идеально теплоизолированы. В остальных случаях – идеальная теплопроводность. Здесь  $j = n + 1$  (см. (1.2)), а в (1.1) принято, что

$$(\chi; i) \in \{(3; 9), (4.5; 10, \dots, 12)\}, \quad (\Omega; i) \in \{(50; 9, 10), (100; 11, 12)\}$$

$$Pr = N = 7, K = 14, J = 4$$

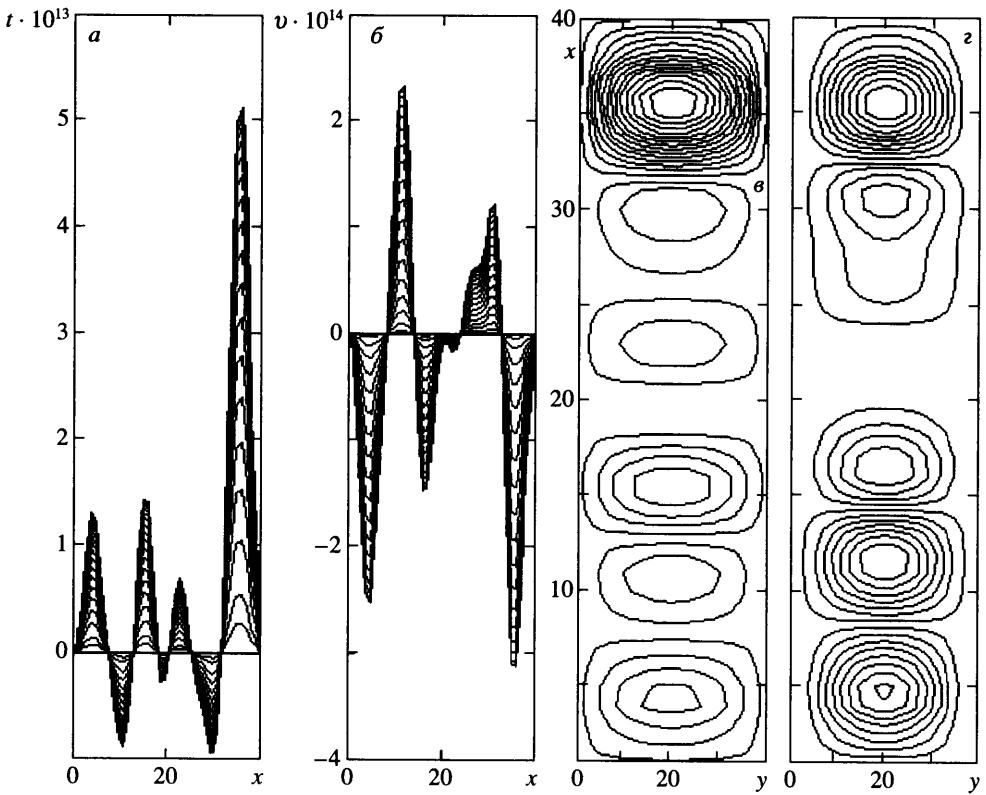
В группах 9–11 выявлены следующие взаимосвязи минимальных  $Ra_{cr}$  и волновых чисел (учтено, что  $3635 \approx 3698$ )

$$\{(Ra_{cr, min}; n), \quad i \in 9, \dots, 11\} = \{(2287; 2), (3661; 4), (3698; 2)\}$$

В [16] получены аналогичные результаты для горизонтального слоя с твердыми границами

$$\{(Ra_{cr, min}; n)_* \} \approx \{(2500; 2), (3600; 4.1), (4000; 2)\}$$





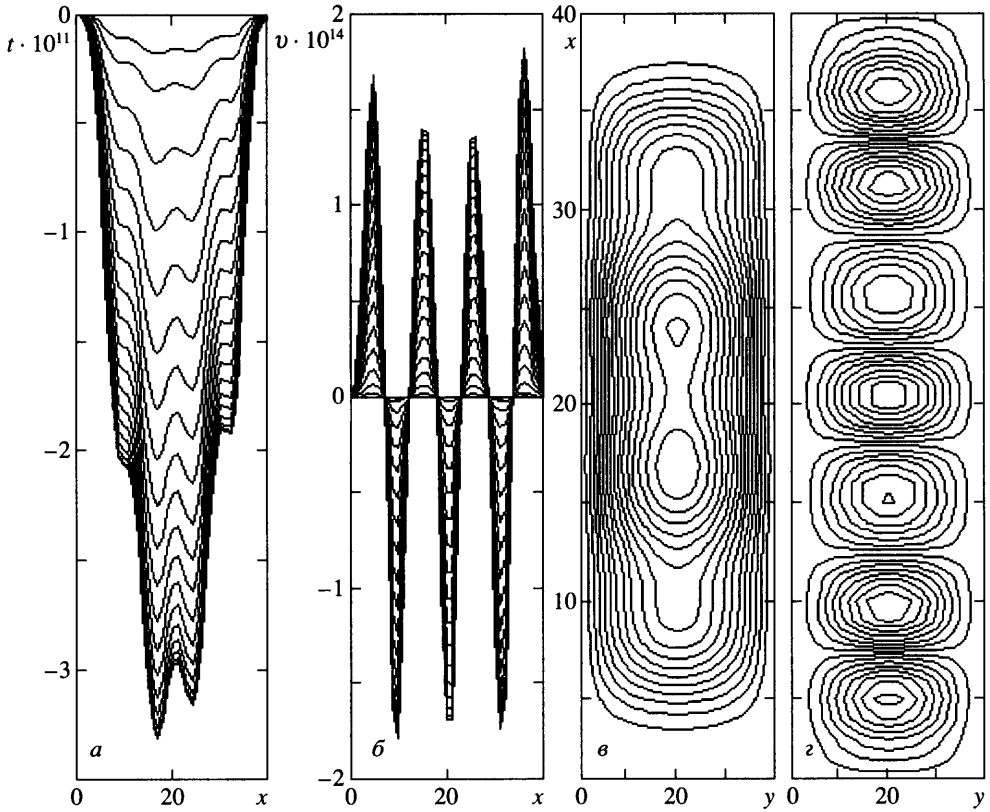
Фиг. 2. Зависимости  $t \cdot 10^{13}$  (а),  $v \cdot 10^{14}$  (б) от  $x$  и изолинии для  $t$  (а),  $v$  (з) при  $Ra_{cr} = Ra_{711} = 1676$

Из таблиц видно, что значениям  $\{Ra_{cr, min}, i = 4, \dots, 12\}$  последовательно соответствуют индексы

$$\{ij\} = \{32; 51; 61; 71; 82; 93; 10.5; 11.4; 12.4\}, k = 1 \quad (3.6)$$

Фигуры 1–3 включают по четыре рисунка с температурными (а, в) и скоростными (б, з) характеристиками движений, возникающих при значениях  $Ra_{cr}$  с  $\{ij\} = \{32; 71; 11.4\}$ ,  $k = 1$ . Справа представлены изолинии  $T_1, \psi$  (фиг. 1), либо  $t, v$ ; слева – кривые зависимостей тех же функций от  $x$  для множества  $\{y\}$ . При вычислении значений функций применено равномерное разбиение с шагом  $d\varphi = L_\varphi : 40$  при  $\varphi \in \{x, y\}$ . Нумерация сечений использована в качестве значений  $x$  и  $y$  на графиках. К изображенным на фиг. 1, 3 близки картины изолиний при  $\{Ra_{cr}\} = \{Ra_{635}, Ra_{811}\}$ . Для  $\{Ra_{cr}\}$  с индексами из (3.6), кроме значений с  $\{ij\} = \{32; 71; 11.4\}$  (фиг. 1–3), картины изолиний – семейства одноцентровых кривых эллиптического типа. Замечено, что картины изолиний при  $Ra_{cr, min}$ , как правило, относительно проще для пространственных течений ( $n > 0$ ) – в сравнении с плоскими.

**Заключение.** При решении задачи об устойчивости равновесия жидкости применен подход, близкий к строго аналитическому, с получением бесконечной системы линейных уравнений, алгебраических относительно числа Рэлея  $Ra$ . Доказана редуцируемость этой системы и вычисление критических значений  $Ra$  ( $Ra_{cr}$ ) связано с условиями обращения в ноль конечного определителя. Показано хорошее согласование результатов расчета с известными данными для полостей с круглыми, квадрат-



Фиг. 3. Зависимости  $t \cdot 10^{11}$  (а),  $v \cdot 10^{14}$  (б) от  $x$  и изолинии для  $t$  (в),  $v$  (г) при  $Ra_{cr} = Ra_{10,51} = 3635$

ными и прямоугольными сечениями. Получена новая информация по  $Ra_{cr}$ , картинам изолиний температур, функций тока для плоских и пространственных течений, в частности, и для вариантов с периодической модуляцией ускорения поля массовых сил. В случаях плоских течений замечена перемежаемость значений  $Ra_{cr}$  для вариантов с различием только условий для температуры. При сопоставлении возрастающих последовательностей  $\{Ra_{cr}\}$  для различающихся волновых чисел – для интервалов значений  $\{Ra_{cr}\}$  с совпадающим номером пересечений не выявлено.

#### СПИСОК ЛИТЕРАТУРЫ

1. Уховский М. Р., Юдович В. И. Об уравнениях стационарной конвекции // ПММ. 1963. Т. 27. Вып. 2. С. 295–300.
2. Гершуни Г.З., Жуховицкий Е.М. Конвективная устойчивость несжимаемой жидкости. М.: Наука, 1972. 392 с.
3. Гершуни Г.З., Жуховицкий Е.М., Непомнящий А.А. Устойчивость конвективных течений. М.: Наука, 1989. 319 с.
4. Полежаев В.И., Сазонов В.В. Механика невесомости и гравитационно-чувствительные системы // Аннот. докл. научн.-иссл. семинара. М.: ИПМ РАН, 1998. 36 с.
5. David B. The planform and onset of convection with a temperature-dependent viscosity // J. Fluid Mech. 1988.V. 191. P. 247–288.
6. Edwards B.F. Crossed rolls at onset of convection in a rigid box // J. Fluid Mech. 1988.V. 191. P. 583–597.

7. *Crespo del Arco E., Bontoux P., Sani R.L., Hardin G., Extremet G. P.* Steady and oscillatory convection in vertical cylinders heated from below. Numerical simulation of asymmetric flow regimes // *Adv. Space Res.* 1988. V. 8, № 12. P. 281–292.
8. *Velte W.* Stabilitätsverhalten und verzweigung stationärer lösungen der Navier -Stokesschen Gleichungen // *Arch. Ration. Mech. Anal.* 1964. V. 16. № 2. P. 97–125.
9. *Гершуни Г.З., Жуховицкий Е.М., Тарунин Е. Л.* Численное исследование конвекции жидкости, подогреваемой снизу // *Изв.АН СССР. МЖГ.* 1966. № 6. С. 93–99.
10. *Kurzweg U.H.* Convective instability of a hydromagnetic fluid within a rectangular cavity // *Intern. J. Heat Mass Transfer.* 1965. V. 8. № 1. P. 35–41.
11. *Жуховицкий Е.М.* Применение метода Галеркина к задаче об устойчивости неравномерно нагретой жидкости // *ПММ.* 1954. Т. 18. Вып. 2. С. 205–211.
12. *Sherman M.* Onset of thermal instability in a horizontal circular cylinder // *Phys. Fluids.* 1966. V. 9. № 11. P. 2095.
13. *Catton I.* Natural convection in horizontal liquid layers // *Phys. Fluids.* 1966. V. 9. № 12. P. 2521.
14. *Гершуни Г.З., Жуховицкий Е.М.* Устойчивость равновесия жидкости в горизонтальном цилиндре, подогреваемом снизу // *ПММ.* 1961. Т. 25. Вып. 6. С. 1035–1040.
15. *Davis S. H.* Convection in a box: linear theory // *J. Fluid Mech.* 1967. V. 39. Pt 3. P. 465–478.
16. *Гершуни Г.З., Жуховицкий Е.М., Юрков Ю.С.* О численном определении границ конвективной устойчивости в системе с периодически меняющимся параметром // *Учен. зап. Перм. ун-та.* 1971. № 248. Гидродинамика. Вып. 3. С. 29–37.
17. *Канторович Л.В., Крылов В.И.* Приближенные методы высшего анализа. М.; Л.: Гостехиздат, 1950. 696 с.

Москва

Поступила в редакцию  
26.V.2004